

# エネルギー法を利用した回転型倒立振子の振り上げ制御

木 澤 悟・奈 良 森 紹\*

## Swing-Up Control of Inverted Pendulum Using Energy Method

Satoru KIZAWA and Moritsugu NARA\*

(2006年11月30日受理)

The study of the motion control of underactuated mechanical systems is now receiving a great deal of attention. Underactuated mechanical systems called the Acrobot are mechanical systems with fewer actuators than degree-of-freedom. Because of it, these systems have strong nonlinearity and it is very difficult to control their motion. This paper presents the control of an underactuated systems called the Rotational Inverted Pendulum with arm and link. We propose the control algorithm used to swing-up and balance the link at unstable equilibrium position. A swing-up controller is designed based on mechanical energy and a stabilization control is designed based on LQG control theory. The performance of the proposed control law is shown in a simulation example.

### 1. 緒 言

劣駆動システム<sup>3),4)</sup>は一般化座標の数よりも少ない数のアクチュエータで制御入力以上の数の一般化座標を制御するシステムである。劣駆動システムの例としては第一関節に駆動関節を持たないアクロボットやトレーラーおよび宇宙ロボットなどが挙げられる。劣駆動システムはアクチュエータの数が関節の数より少ないことにより、ロボットの軽量化、コストダウンがはかられ、システムの簡素化のメリットが挙げられる。しかしながらその反面、パッシブな関節を有しているため動作空間において、非線形性があり、モデルベースに基づく現代制御理論が直接利用できない、あるいは直接駆動できない関節に対する制御の難しさがあり、数多くの課題を有する難しい制御問題である。

本研究では、劣駆動システムの一例であるアームと振子から構成される回転型倒立振子を製作し、この振子が真下状態にぶら下がっている状態から、振子を振り上げるにより振子を真上状態に倒立させる安定化制御を目的とした。制御手法は2つのステップにわけ、第1ステップは力学的エネルギーに着目した振り上げ制御により安定化領域まで振子を漸

近させ、次の第2ステップにおいては制御則を切り換えてLQG制御を用いて、振子の安定化制御を行った。なお、本研究は実機をベースにモデル化しているが、制御手法を検証するためにMatlab/Simulinkを用いてシミュレーションを行い、提案した制御手法の有効性について示す。

### 2. システムの概要

図1に製作した回転型倒立振子システムを示す。また、図2に模式的なシステム構成図を示す。ア

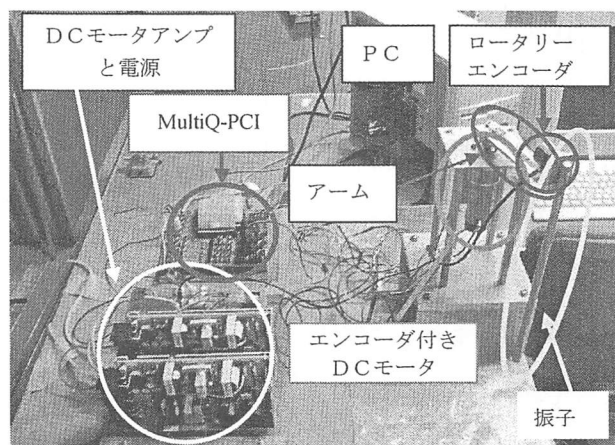


図1 回転型倒立振子システム

\* 秋田高専専攻科学生

ムに取り付けられたロータリーエンコーダと、振子の DC ギャードモータに取り付けられたロータリーエンコーダの角度信号はカンサー社製の Multi Q-PCI (カウンタ) を介してパソコンへと送られる。また、指令信号は制御則に基づいて Multi Q-PCI (D/A コンバータ) からモータアンプを介して DC モータへと送られる。

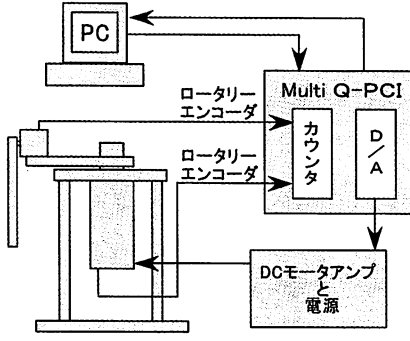


図2 システム構成図

### 3. 回転型倒立振子のモデル化

#### 3.1 非線形運動方程式の導出

この節では、ラグランジュの運動方程式を用いて図3に示す回転型倒立振子モデルの運動方程式を導出する。モータ動特性を考慮してアームに与えられるトルク  $\tau$  とモータ端子電圧  $V$  との関係を含めて考慮した非線形な運動方程式は次式となる。

$$\begin{bmatrix} J_b + m_p r^2 + m_p l_p^2 \sin^2 \alpha + J_m n^2 & m_p r l_p \cos \alpha \\ m_p r l_p \cos \alpha & m_p l_p^2 + I_p \end{bmatrix} \begin{bmatrix} \ddot{\theta} \\ \ddot{\alpha} \end{bmatrix} + \begin{bmatrix} m_p l_p^2 \dot{\alpha} \sin 2\alpha & -m_p r l_p \dot{\alpha} \sin \alpha \\ -m_p l_p^2 \dot{\theta} \sin \alpha \cos \alpha & 0 \end{bmatrix} \begin{bmatrix} \dot{\theta} \\ \dot{\alpha} \end{bmatrix} + \begin{bmatrix} C + \frac{K_\tau K_E n^2}{R_a} & 0 \\ 0 & C_p \end{bmatrix} \begin{bmatrix} \dot{\theta} \\ \dot{\alpha} \end{bmatrix} + \begin{bmatrix} 0 \\ -m_p g l_p \sin \alpha \end{bmatrix} = \begin{bmatrix} \frac{K_m}{R_a} \\ 0 \end{bmatrix} V \quad (1)$$

$\alpha$ : 振子角度  $\theta$ : アーム角度  
 $m_p$ : 振子の質量  $m_a$ : アームの質量  
 $l_p$ : 振子の重心までの長さ  $r$ : アーム長さ  
 $r_a$ : アームの重心までの長さ  
 $I_a$ : アーム重心まわりの慣性モーメント  
 $I_p$ : 振子重心まわりの慣性モーメント  
 $J_b$ :  $I_a$  と取り付け部品を含めた慣性モーメント  
 $\tau$ : モータトルク  $n$ : ギヤ比  
 $R_a$ : 直流抵抗 (アマチュア抵抗)  
 $K_E$ : モータ誘起電圧  $K_\tau$ : トルク定数

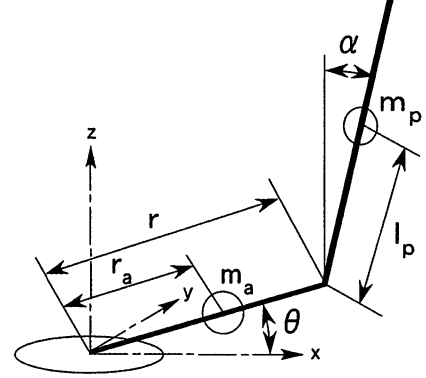


図3 回転型倒立振子モデル

である。さらにモータの動特性を考慮した非線形運動方程式である式(1)において、

$$\begin{aligned} m_{d11} &= J_b + m_p r^2 + m_p l_p^2 \sin^2 \alpha + J_m n^2 \\ m_{d12} &= m_p r l_p \cos \alpha & m_{d21} &= m_p r l_p \cos \alpha \\ m_{d22} &= m_p l_p^2 + I_p \\ h_{d1} &= \{m_p l_p^2 \dot{\alpha} \sin 2\alpha\} \dot{\theta} - \{m_p r l_p \dot{\alpha} \sin \alpha\} \dot{\alpha} \\ h_{d2} &= \{-m_p l_p^2 \dot{\theta} \sin \alpha \cos \alpha\} \dot{\theta} \\ g_{d1} &= 0 & g_{d2} &= -m_p g l_p \sin \alpha \end{aligned}$$

$$\tilde{K} = \frac{n K_\tau}{R_a} \quad (2) \quad \tilde{C} = C_a + \frac{K_E K_m n^2}{R_a} \quad (3)$$

$$u_1 = \tilde{K} V - \tilde{C} \dot{\theta} \quad (4)$$

と置けば

$$\begin{bmatrix} m_{d11} & m_{d12} \\ m_{d21} & m_{d22} \end{bmatrix} \begin{bmatrix} \ddot{\theta} \\ \ddot{\alpha} \end{bmatrix} + \begin{bmatrix} h_{d1} \\ h_{d2} \end{bmatrix} + \begin{bmatrix} g_{d1} \\ g_{d2} \end{bmatrix} = \begin{bmatrix} u_1 \\ 0 \end{bmatrix} - \begin{bmatrix} 0 \\ C_p \dot{\alpha} \end{bmatrix} \quad (5)$$

となる。ここで、 $u_1$  は制御入力、すなわち操作量である。

#### 3.2 運動方程式の線形化

線形制御理論をコントローラに用いる場合、モデルの線形化が必要となる。そこで、式(1)において、振子が真上にほぼ倒立し、アームの左右の振れが小さいとするならば、アーム角度  $\theta$ 、振子角度  $\alpha$  は小さく見積もることができ、次の様な仮定が置ける。つまり、

$$\begin{aligned} \sin \theta &\cong \theta & \cos \theta &\cong 1 & \dot{\theta}^2 &\cong 0 \\ \sin \alpha &\cong \alpha & \cos \alpha &\cong 1 & \dot{\alpha}^2 &\cong 0 \end{aligned}$$

であるから、非線形運動方程式である式(1)は次式のように線形化できる。

$$\begin{bmatrix} J_b + m_p r^2 + J_m n^2 & m_p r l_p \\ m_p r l_p & l_p + m_p l_p^2 \end{bmatrix} \begin{bmatrix} \ddot{\theta} \\ \ddot{\alpha} \end{bmatrix}$$

$$\begin{aligned} & + \begin{bmatrix} C_a + \frac{K_T K_E n^2}{R_a} & 0 \\ 0 & C_p \end{bmatrix} \begin{bmatrix} \dot{\theta} \\ \dot{\alpha} \end{bmatrix} + \begin{bmatrix} 0 & 0 \\ 0 & -m_p g l_p \end{bmatrix} \begin{bmatrix} \theta \\ \alpha \end{bmatrix} \\ & = \begin{bmatrix} K_T n \\ R_a \\ 0 \end{bmatrix} V \end{aligned} \quad (6)$$

3.3 状態方程式の導出

モータの動特性を考慮した線形な運動方程式である式(6)から、状態方程式および出力方程式を求めると

$$\begin{cases} \dot{x}_p = A_p x_p + B_p u \\ y_p = C_p x_p \end{cases} \quad (7)$$

となる。ここで

$$A_p = \begin{bmatrix} 0 & I \\ E^{-1} A_2 & E^{-1} A_1 \end{bmatrix} \quad B_p = \begin{bmatrix} 0 \\ E^{-1} B \end{bmatrix}$$

$$E = \begin{bmatrix} J_b + m_p r^2 + J_m n^2 & m_p r l_p \\ m_p r l_p & I_p + m_p l_p^2 \end{bmatrix}$$

$$A_1 = \begin{bmatrix} -C_a - \frac{K_T K_E n^2}{R_a} & 0 \\ 0 & -C_p \end{bmatrix} \quad B = \begin{bmatrix} \frac{K_T n}{R_a} \\ 0 \end{bmatrix}$$

$$A_2 = \begin{bmatrix} 0 & 0 \\ 0 & m_p g l_p \end{bmatrix} \quad C_p = \begin{bmatrix} 1 & 0 & 0 & 0 \\ 0 & 1 & 0 & 0 \end{bmatrix}$$

$$x_p = [\theta \quad \alpha \quad \dot{\theta} \quad \dot{\alpha}]^T \quad J_b = (I_a + m_a r_a^2)$$

$$u = V$$

である。

4. パラメータの測定

物理パラメータ  $m_p$ ,  $l_p$ ,  $I_a$  は測定あるいは計算によって求められるが,  $I_p$ ,  $C_a$ ,  $C_p$  は振子の自由振動実験とアーム動作実験によって推定した。表1には、振子の自由振動実験より得られた振子のパラメータを示す。また、表2には、アーム動作実験より得られたアーム摩擦係数  $C_a$ 、理論的に導出したアームの慣性モーメント  $I_a$  を示す。本研究に用いた DC モータは千葉精密製のギャエンコーダ付きモータである。表3に DC モータの性能を示す。

表1 振子の物理パラメータ

記号	物理パラメータ	数値
$\varepsilon$	減衰率	0.0925
$T$	周期	1.0067[s]
$\omega_n$	固有振動数	6.241[Hz]
$\zeta$	減衰比	0.0051
$I_p$	振子の重心まわりの 完成モーメント	$0.971 \times 10^{-3} [\text{kg} \cdot \text{m}^2]$
$C_p$	振子粘性摩擦係数	$1.671 \times 10^{-4} [\text{kg} \cdot \text{m}^2]$
$m_p$	振子質量	0.067[kg]
$l_p$	振子の重心までの距離	0.155[m]

表2 アームの物理パラメータ

記号	物理パラメータ	数値
$m_a$	アームのみの質量	0.057[kg]
$r_a$	アームの重心までの長さ	0.137[m]
$I_a$	アーム慣性モーメント	$2.67 \times 10^{-4} [\text{kg} \cdot \text{m}^2]$
$C_a$	アーム摩擦係数	$2.919 \times 10^{-3} [\text{Nms/rad}]$
$J_b$	回転軸まわりの アーム慣性モーメント	$1.2 \times 10^{-3} [\text{kg} \cdot \text{m}^2]$

表3 DC モータのパラメータ

千葉精密製 LEC-326402 G200		
記号	物理パラメータ	数値
$R_a$	直流抵抗(アマチュア抵抗)	5.7[Ω]
$K_T$	トルク定数	$3.038 \times 10^{-2} [\text{Nm/A}]$
$K_E$	誘起電圧定数	$3.06 \times 10^{-2} [\text{V} \cdot \text{rad/s}]$
$n$	ギヤ比	29.47
$J_m$	モータの慣性モーメント	$2.19 \times 10^{-6} [\text{kg} \cdot \text{m}^2]$

5. 制御系の設計について

5.1 制御領域の分割

制御目的は図4に示すように初期状態において振子が真下にぶら下がった状態から、振り上げを行い振子角度が0°になる真上で倒立した状態で安定することが目標である。そこで、振子が真下にぶら下

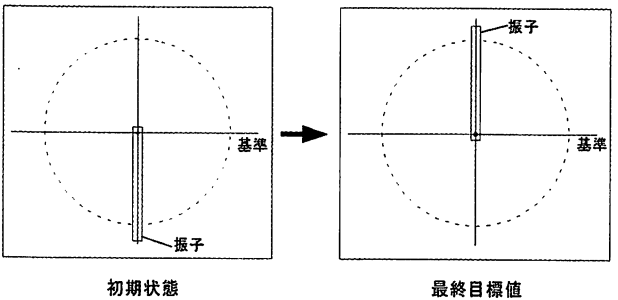


図4 振子の制御目標

がった状態から真上に倒立するまでの制御手法と制御則について述べる。

本研究では振子の可動領域を、振り上げ領域と安定化領域の2つに分け、振り上げ領域ではエネルギー法に基づく振り上げ制御を、安定化領域ではLQGコントローラを用いた安定化制御を行うことにした。そこで、図5に示すように振り上げ制御をSTEP 1とし、安定化制御をSTEP 2とした。つまり、モデルが線形できない領域では非線形な制御を行い、モデルが線形化可能な領域に突入した場合にLQG制御に切り換える2ステップのコントローラを構築する。1章の冒頭でも述べたが、現代制御理論は線形化されたモデルに対して適応できるが、本研究の制御対象である回転型倒立振子は非線形なシステムであるため、モデルベースに基づく制御理論を適応できない。そこで、振り上げ領域ではモデルが非線形システムなので、エネルギー法を基にした制御手法で行い、安定化領域においてはモデルを線形することが可能となるので、LQG制御理論を利用することにする。したがって本研究における制御則は振り上げ領域と安定化領域を振子角度 $\alpha$ で定義し、それぞれ以下の範囲とする

STEP 1 振り上げ制御： $\alpha < -\frac{\pi}{6}$ ,  $\alpha > \frac{\pi}{6}$  のとき

運動エネルギー法に基づく制御

STEP 2 安定化制御： $-\frac{\pi}{6} \leq \alpha \leq \frac{\pi}{6}$  のとき

LQG 制御

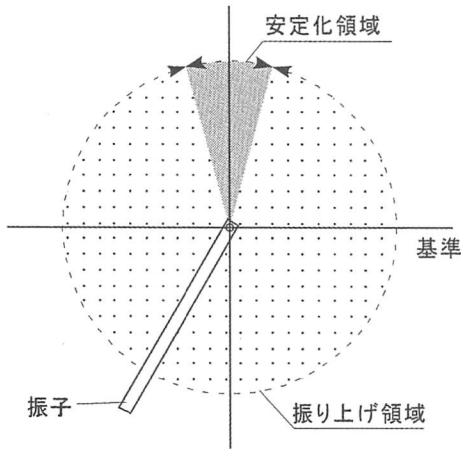


図5 振子の制御領域

## 5.2 STEP 1 エネルギー法に基づく振り上げ制御

振り上げ領域の制御則は、回転型倒立振子のシステム全体の力学的エネルギーが常に増大するような制御入力を与え続けるような手法を考える。まず、シ

ステム全体の力学的エネルギー $E$ （運動エネルギー $T$ 、位置エネルギー $U$ ）とその時間微分 $\dot{E}$ を示す。

$$E(\theta, \alpha, \dot{\theta}, \dot{\alpha}) = T(\theta, \alpha, \dot{\theta}, \dot{\alpha}) + U(\alpha) \quad (8)$$

$$\dot{E}(\theta, \alpha, \dot{\theta}, \dot{\alpha}) = \dot{T}(\theta, \alpha, \dot{\theta}, \dot{\alpha}) + \dot{U}(\alpha) \quad (9)$$

なお、システムの運動エネルギーおよび位置エネルギーはラグランジュの運動方程式を用いて導出される。以下に運動エネルギー $T$ および位置エネルギー $U$ を示す。運動エネルギーは $T$

$$T(\theta, \alpha, \dot{\theta}, \dot{\alpha}) = \frac{1}{2} \begin{bmatrix} \dot{\theta} & \dot{\alpha} \end{bmatrix} \begin{bmatrix} m_{d11} & m_{d12} \\ m_{d21} & m_{d22} \end{bmatrix} \begin{bmatrix} \dot{\theta} \\ \dot{\alpha} \end{bmatrix} \\ = \frac{1}{2} \{ m_{d11} \dot{\theta}^2 + m_{d21} \dot{\theta} \dot{\alpha} + m_{d12} \dot{\theta} \dot{\alpha} + m_{d22} \dot{\alpha}^2 \} \quad (10)$$

となり、位置エネルギー $U$ は

$$U(\alpha) = m_p g l_p \cos \alpha \quad (11)$$

となる。この制御は現在の持つ力学的エネルギーよりも次のステップの持つ力学的エネルギーが増大することで、位置エネルギーあるいは運動エネルギーを増大させ、振子を真上に漸近させるねらいである。この目的を達成させるためには常にエネルギーを増大し続ける必要があり、以下の条件を満たす必要がある。

$$\dot{E}(\theta, \alpha, \dot{\theta}, \dot{\alpha}) \geq 0 \quad (12)$$

つまり式(12)は、エネルギー関数である式(8)が単調増加関数であることを示している。次に全体の力学的エネルギーの微分は式(9)に示しているが、具体的に表すと、

$$\dot{E}(\theta, \alpha, \dot{\theta}, \dot{\alpha}) = \begin{bmatrix} \frac{\partial T}{\partial \dot{\theta}} & \frac{\partial T}{\partial \dot{\alpha}} \end{bmatrix} \begin{bmatrix} \dot{\theta} \\ \dot{\alpha} \end{bmatrix} + \begin{bmatrix} \frac{\partial T}{\partial \theta} & \frac{\partial T}{\partial \alpha} \end{bmatrix} \begin{bmatrix} \dot{\theta} \\ \dot{\alpha} \end{bmatrix} \\ + \begin{bmatrix} \frac{\partial U}{\partial \theta} & \frac{\partial U}{\partial \alpha} \end{bmatrix} \begin{bmatrix} \dot{\theta} \\ \dot{\alpha} \end{bmatrix} \\ = \begin{bmatrix} \dot{\theta}^T \end{bmatrix} \begin{bmatrix} m_{d11} & m_{d12} \\ m_{d21} & m_{d22} \end{bmatrix} \begin{bmatrix} m_{d11} & m_{d12} \\ m_{d21} & m_{d22} \end{bmatrix}^{-1} \begin{bmatrix} u_1 - h_{d1} - g_{d1} \\ -C_p \dot{\alpha} - h_{d2} - g_{d2} \end{bmatrix} \\ + \begin{bmatrix} \dot{\theta} & \dot{\alpha} \end{bmatrix} \begin{bmatrix} 0 & m_p l_p^2 \dot{\theta} \sin \alpha \cos \alpha \\ 0 & -m_p l_p \dot{\theta} \sin \alpha \end{bmatrix} \begin{bmatrix} \dot{\theta} \\ \dot{\alpha} \end{bmatrix} \begin{bmatrix} g_{d1} & g_{d2} \end{bmatrix} \begin{bmatrix} \dot{\theta} \\ \dot{\alpha} \end{bmatrix} \\ = u_1 \dot{\theta} - C_p \dot{\alpha}^2 \quad (13)$$

となる。このとき $\dot{E} > 0$ であればの $\dot{E}(\theta, \alpha, \dot{\theta}, \dot{\alpha})$ 傾きが常に正、つまりエネルギーを単調増加させることが可能である。つまり式(13)の右辺第2項は振子の摩擦に関する項で制御入力 $u_1$ は第2項を常に上回るといった操作が必要であることがわかる。エネルギー

を増加させる為の制御入力  $u_l$  は  $\dot{E} > 0$  であればよいから

$$u_l = \frac{C_p \dot{\alpha}^2}{\dot{\theta}} > 0 \quad (14)$$

が要求される。ここで制御入力を電圧  $V$  に換算するために式(4)より

$$V = \frac{u_l}{\tilde{K}} + \frac{\tilde{C} \dot{\theta}}{\tilde{K}} \quad (15)$$

が得られる。しかし、シミュレーションの結果、式(14)で満足するだけではうまく振子は振り上げられなかった。これは、アーム角速度  $\dot{\theta}$  が小さ過ぎると振子の角速度  $\dot{\alpha}$  も小さく、その結果、操作量  $u_l$  が小さく、振子軸の摩擦に打ち勝てないことが考えられる。これはスタート時点でも同様のことが言える。このことを考慮して操作量は2通りについて考えた。  
① 振子が真下付近でアームの振りが小さい場合  
 $-\gamma \leq \dot{\theta} \leq \gamma$  のとき

$$u_l = u_{lmax} \operatorname{sgn}(\dot{\theta}) \quad (16)$$

ただし、

$$\operatorname{sgn}(\dot{\theta}) = \begin{cases} 1 & (\dot{\theta} > 0) \\ -1 & (\dot{\theta} < 0) \end{cases} \quad (17)$$

である。つまりアームの角速度の符号を見て左右にモータの最大パワーで振らせる。 $u_{lmax}$  は操作量の最大値である。

② 十分アームの角速度が得られる場合  
 $\dot{\theta} \leq -\gamma$  あるいは  $\dot{\theta} \geq \gamma$  のとき

$$u_l = \left( \frac{C_p \dot{\alpha}^2}{\dot{\theta}} \right) + \delta \operatorname{sgn}(\dot{\theta}) \quad (18)$$

となる。ここで  $\gamma$  は非常に小さい整数値、 $\delta$  は制御入力変数である。なお第2項は例えば十分なアーム角速度  $\dot{\theta}$  があっても、摩擦を打ち消すエネルギーが必要であるので、そのための付加分を含んだ式(18)を式(13)に代入すれば

$$\dot{E} = \dot{\theta} \{ \delta \operatorname{sgn}(\dot{\theta}) \} \quad (19)$$

であり、付加分の符号の調整をし、 $\dot{E} > 0$  を保っている。

### 5.3 STEP 2 安定化制御

式(7)で与えられるシステムに対して、制御則に

LQG コントローラを用いる。LQ 理論は、次式に示す評価関数を最小化する制御入力を求めるものである。

$$J = \int_0^\infty (x^T Q x + u^T R u) dt \\ = \int_0^\infty (y^T C^T Q C y + u^T R u) dt \quad (20)$$

ここで、 $Q$  は準正定対称行列、 $R$  は正定対称行列である。式(20)における評価  $J$  の値を小さくするようなコントローラを設計する。式(20)を最小化する制御入力は

$$u = -Kx \quad (21)$$

である。 $K$  はフィードバックゲインであり、次式のように与えられる。

$$K = R^{-1} B^T P \quad (22)$$

ここで  $P$  は次の代数リカッチ方程式の正定対称解である。

$$PA + A^T P - PBR^{-1}B^T P + C^T Q C = 0 \quad (23)$$

一般にすべての状態量を検出することは不可能である。本研究においては、検出可能な物理量はアームの角度  $\theta$  と振子の角度  $\alpha$  であり、残りのアームの角速度  $\dot{\theta}$  と振子の角速度  $\dot{\alpha}$  は推定することになる。そこで、コントローラは推定機構であるオブザーバにカルマンフィルタを用いた LQG コントローラを用いた。LQG コントローラを用いた状態方程式は次式のようにになる。

$$\begin{cases} \dot{x}_k = A_k x_k + B_k y \\ u_k = C_k x_k \end{cases} \quad (24)$$

ただし、

$$A_k = A - HC - BK \quad B_k = H \quad C_k = -K$$

である。また、上式の  $H$  はカルマンフィルタゲインであり、次式で求められる。

$$H = SC^T \quad (25)$$

ここで、 $S$  は次式のリカッチ方程式の正定対称解である。

$$SA + A^T S - SC^T CS + q^2 BB^T = 0 \quad (26)$$

この  $q$  はスカラーパラメータであり、この場合の最適制御系は LQG/LTR 法と呼ばれ  $q \rightarrow \infty$  により LQ コントローラに漸近させることができる。よって、安定化領域における制御系の設計は、重み関数  $Q$ 、

$R$  および  $q$  を与え、様々な試行の結果フィードバック  $K$  とカルマンフィルタゲイン  $H$  を得ることである。

## 6. シミュレーション結果

### 6.1 シミュレーションの設計

5 章で設計した制御則の有効性を検証するため、4 章で求めた実機のパラメータを用いてシミュレーションを行う。シミュレーションのプログラムとして Matlab/Simulink<sup>1), 2)</sup> を用いた。プログラムの構成は STEP 1 の振り上げ領域においては Matlab のみで構成し、STEP 2 の安定化領域では、Matlab と Simulink をリンクさせて計算を行った。Simulink 上で作成したブロック線図を図 6 に示す。

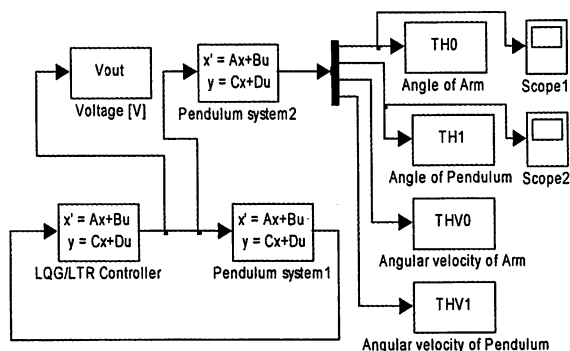


図 6 Simulink 上で作成したブロック線図

また、STEP 2 における LQG 制御における重み関数および振り上げ制御時に使用するパラメータの  $\gamma$ 、 $\delta$  は以下の様に設定した。

$$Q = \begin{bmatrix} 1000 & 0 & 0 & 0 \\ 0 & 10 & 0 & 0 \\ 0 & 0 & 10 & 0 \\ 0 & 0 & 0 & 3 \end{bmatrix}$$

$$R = 0.4 \quad q = 1000$$

$$\gamma = 0.1 \quad \delta = 0.02$$

また、システムの初期状態は

$$[\theta \ \alpha \ \dot{\theta} \ \dot{\alpha}]^T = [0 - 180^\circ \ 0 \ 0]^T$$

である。またシミュレーションではアームのスイィング範囲を  $-90^\circ \leq \theta \leq 90^\circ$  として、この領域を出た場合は強制的に反対方向へスイィングさせた。

### 6.2 システム全体の力学的エネルギーについて

ここでは、「 $\dot{E} > 0$  であれば  $E(\theta, \alpha, \dot{\theta}, \dot{\alpha})$  の傾きが常に正、つまりエネルギーを単調増加させることが可

能」なので、 $\dot{E} > 0$  が成り立っているのかどうか、そしてエネルギーを単調増加させることができているかを検討する。図 7 にエネルギーを時間微分した  $\dot{E}$  の時間応答を示す。図 7 より、 $\dot{E} > 0$  を満たしていることがわかる。そして、システム全体のエネルギー  $E$  はほぼ単調増加を示しているといえる。グラフ中の落ち込んでいる部分は、本研究ではアームスイィング角度の可動領域を  $-90^\circ \leq \theta \leq 90^\circ$  と制限したためだと考えられる。これは制限したアーム角度を超えないようにするために、強制的に反対側へアームをスイィングさせているため、このとき一瞬力学的エネルギーが落ち込むと考えられる。

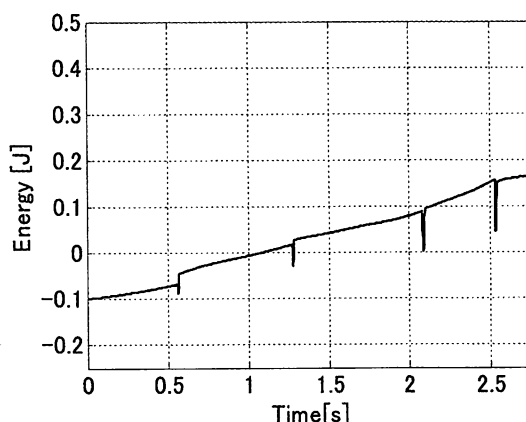


図 7  $\dot{E}$  の時間応答

### 6.3 STEP 1 の振り上げ制御の時間応答

ここでは、振子が最終目標値である真上 ( $\alpha = 0^\circ$ ) で安定するか、またその時のアーム角度がどのようになっているかを検討する。図 8 にアーム角度の時間応答、図 9 には振子角度の時間応答について示す。図 8 の破線は  $\pm 90^\circ$  でアーム角度の制限された領域を表し、図 9 の点線は  $\pm 30^\circ$  で、STEP 1 と STEP 2 の境界線を表している。6.1 節で述べたが、

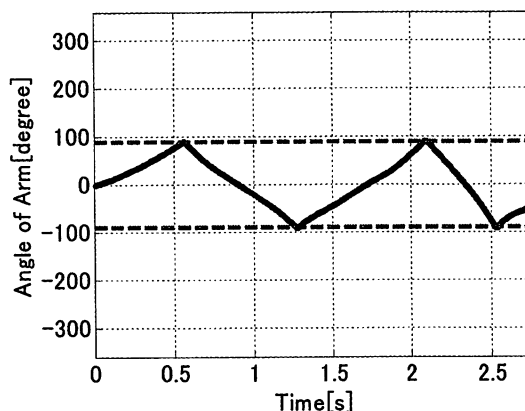


図 8 アーム角度  $\theta$  の時間応答

アーム角度の可動領域を制限したため、ほぼ $\pm 90^\circ$ の範囲でアームが可動しているのがわかる。また図9よりSTEP 1の振り上げ制御領域では、振子は真下の $-180^\circ$ から出発し左右に振られ、安定化領域へ振り上げようとしているのがわかる。その後、2.7[s]付近でSTEP 2の安定化制御領域に達することになる。

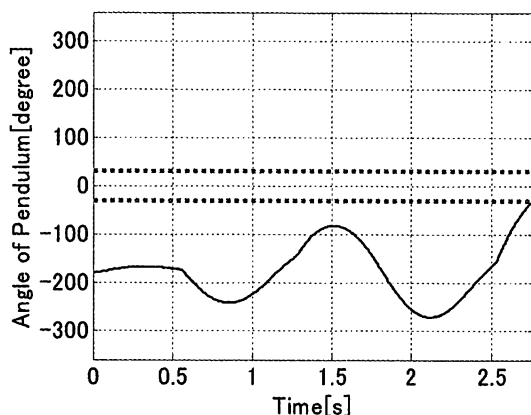


図9 振子角度 $\alpha$ の時間応答

#### 6.4 STEP 1とSTEP 2を合わせた全体の時間応答

アーム角度 $\alpha$ についての初期状態から倒立した過程までの時間応答を図10に示す。STEP 1からSTEP 2へ移行する瞬間に、振子は逆応答をしてスムーズな挙動が行われなかった。これは、制御則が急に切り換わってしまったことが原因と考えられる。この問題点を克服するには、STEP 1とSTEP 2の間に非線形なシステムに有効であると考えられている制御手法を用いることが考えられる。例えば、スライディングモード制御を利用すれば安定化領域に移行

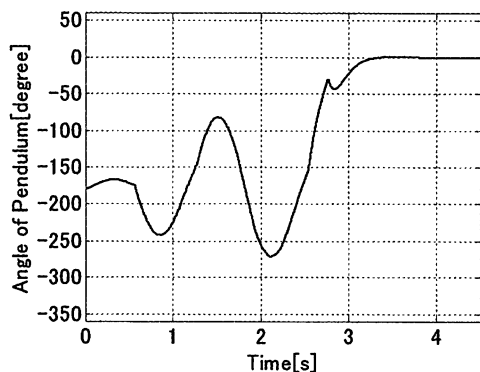


図10 振子角度 $\alpha$ の時間応答

するとき、アームや振子の角速度をゼロ近傍に近づけることにより、運動エネルギーを減少させスムーズな切り換えが可能になると考えられる。

以上のことからシミュレーション上では、初期状態から最終目標値で安定させることができたので、今回提案した2ステップの制御則は有効であったと考えられる。しかしながら、実機に応用したした場合、制御則の切り換え時が問題になる可能性がある。

## 7. 結 言

システムの非線形領域と線形化可能領域に分割し、それぞれの領域に対して「STEP 1: エネルギー法による振り上げ制御」と「STEP 2: LQG 制御理論を用いた安定化制御」を行うという2ステップ制御を提案した。提案した制御手法が有効であるかどうか検証するために Matlab/Simulink を用いてシミュレーションを行った。その結果をまとめると次のことが言える。

- (1) 非線形なシステムであっても、線形化可能領域を設定することで、LQG 制御等の現代制御理論が適用でき、安定化制御が可能である。
- (2) 今回提案した力学的エネルギーを増大させるエネルギー法は振子の振り上げ制御に有効である。

今後の課題としては、STEP 1 から STEP 2 に切り換わる瞬間、アーム、振子ともにある程度の大きさの角速度を持っているので、LQG 制御による操作量に影響を与える可能性があり、実機に本制御手法を適用して検証を行う予定である。

## 参考文献

- 1) 青山貴伸・蔵本一峰・森口肇 著, 吉田郷弘 監修, 使える! MATLAB, 講談社 (2002)
- 2) 川田昌克・西岡勝弘 著, 井上和夫 監修, MATLAB/Simulink によるわかりやすい制御工学, 森北出版 (2001)
- 3) 美多 勉, 非線形制御入門—劣駆動ロボットの技能制御理論, 昭晃社 (2000)
- 4) Spong, M, "The Swingup Control Problem for the Acrobot", IEEE Control Systems Magazine, Vol. 15, No. 1, pp. 49-55, Feb. 1995.